



## Arbeitsgruppe Prof. Dr. Karl-Michael Weitzel

## Chemische Prozesse von Ionen: Erzeugung, Transport und Reaktivität

## **Einleitung**

Chemische Prozesse von Ionen spielen eine große Rolle im Zusammenhang mit natürlichen Entladungsprozessen (Gewitter, etc.) aber insbesondere auch bei künstlich (technisch) herbeigeführten Prozessen (Plasmaätzen, etc.).

Die Arbeitsgruppe Weitzel untersucht eine Vielfalt chemischer Prozesse von Kationen (positiv geladene Ionen) von der Bildung der Ionen über chemische Reaktionen in der Gasphase hin zu chemischen Streuprozessen an Oberflächen und schließlich Transport der Ionen durch Feststoffe (Gläser und Polymerfilme).

### Ziele unserer Arbeiten sind:

- ein besseres Verständnis der grundlegenden wissenschaftlichen Fragen
- Manipulation und Steuerung chemischer Prozesse
- Anwendungen in der chemischen Analytik
- Anwendungen in der Energiespeichertechnologie
- Anwendungen in der Biophysik (Signalübertragung durch Ionenkanäle)
- Anwendungen in der Plasmachemie (z.B. Oberflächenbearbeitung)

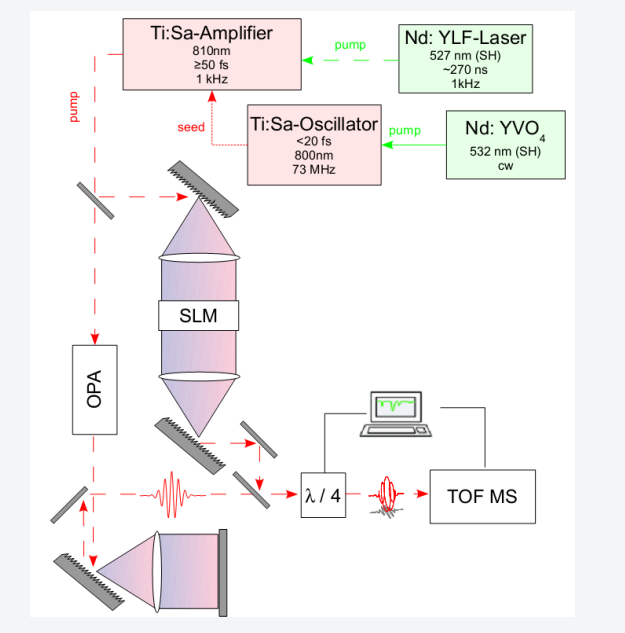
### Kompetenzen der Arbeitsgruppe:

- Spektral hochauflösende Laserspektroskopie
- Ultra-Kurzpuls-Lasertechnologie (10 Femtosekunden)
- Thermionische Emission
- Reaktionskinetik auf der Zeitskala von Femtosekunden bis Stunden
- Zeitkorrelierter Nachweis einzelner Ionen
- Transport von Ladungsträgern
- Charge attachment induced transport (CAIT)

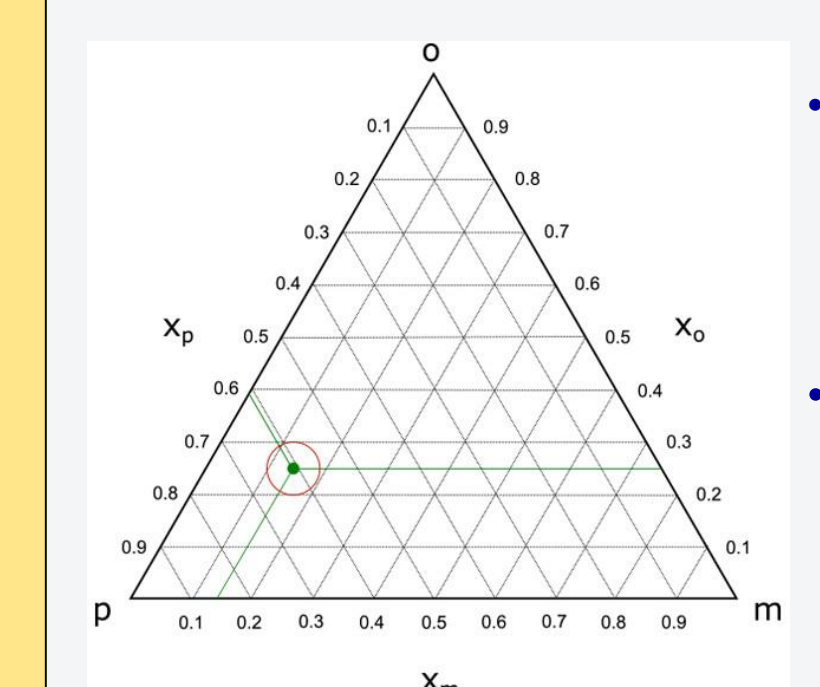
## Femtosekunden-Laserionisations Massenspektrometrie

fs-Laserionisations-

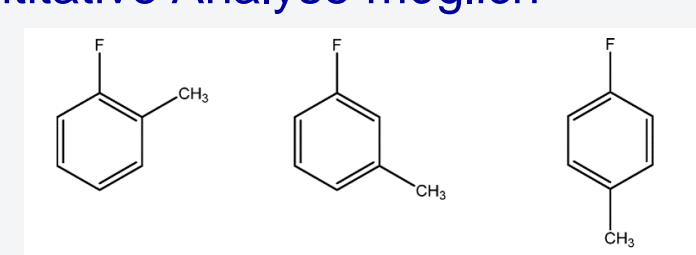
- Massen-spektrometrie (fs-LIMS) Besonders hohe Empfindlichkeit
- (Spurenanalytik) Besonders hohe Selektivität
- (chemische Analytik)



### **Unterscheidung von Strukturisomeren (Isomerenanalyse)**



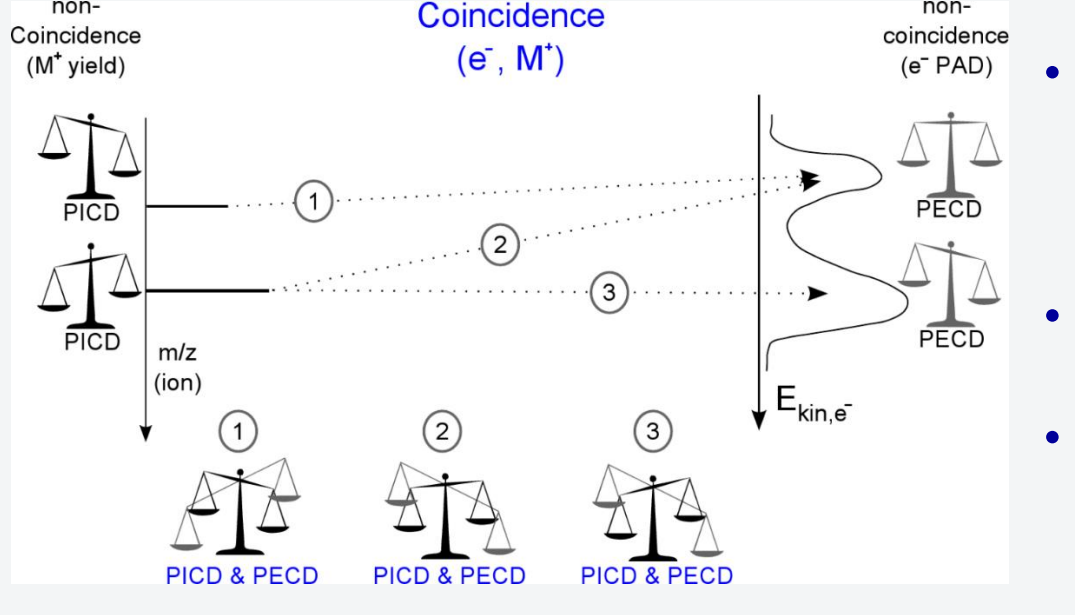
Die bei konventioneller Elektronenstoßionisation (EI/MS) nicht unterscheidbaren Strukturisomere des Fluortoluols (o-FT, m-FT, p-FT) können mittels Ionisation durch geformte Femtosekundenlaserpulse unterschieden werden Quantitative Analyse möglich



möglich

V. Schäfer, K.-M. Weitzel, Anal. Chem., <u>92</u>, 5492-5499 (2020)

### **Unterscheidung von Enantiomeren (Chiralitätsanalyse)**

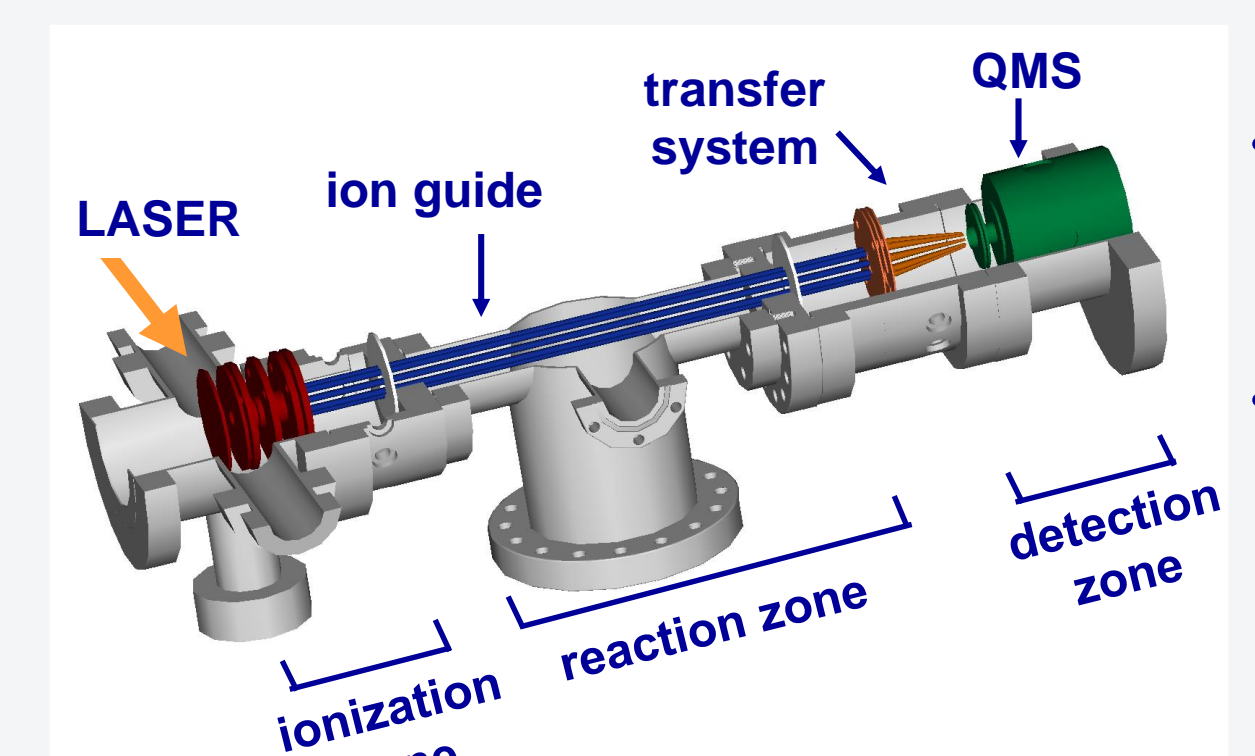


Messung von Photoelektronen Circulardichroismus (PECD) und Photoionen Circulardichroismus (PICD) in Koinzidenz Gleichzeitige chemische Identifikation und Bestimmung des CD Unterscheidung von Enantiomeren

C.S. Lehmann, K.-M. Weitzel, PCCP, 22, 13707 (2020) C.S. Lehmann, D. Botros, K.-M. Weitzel, PCCP, <u>24</u>, 15904-15911 (2022)

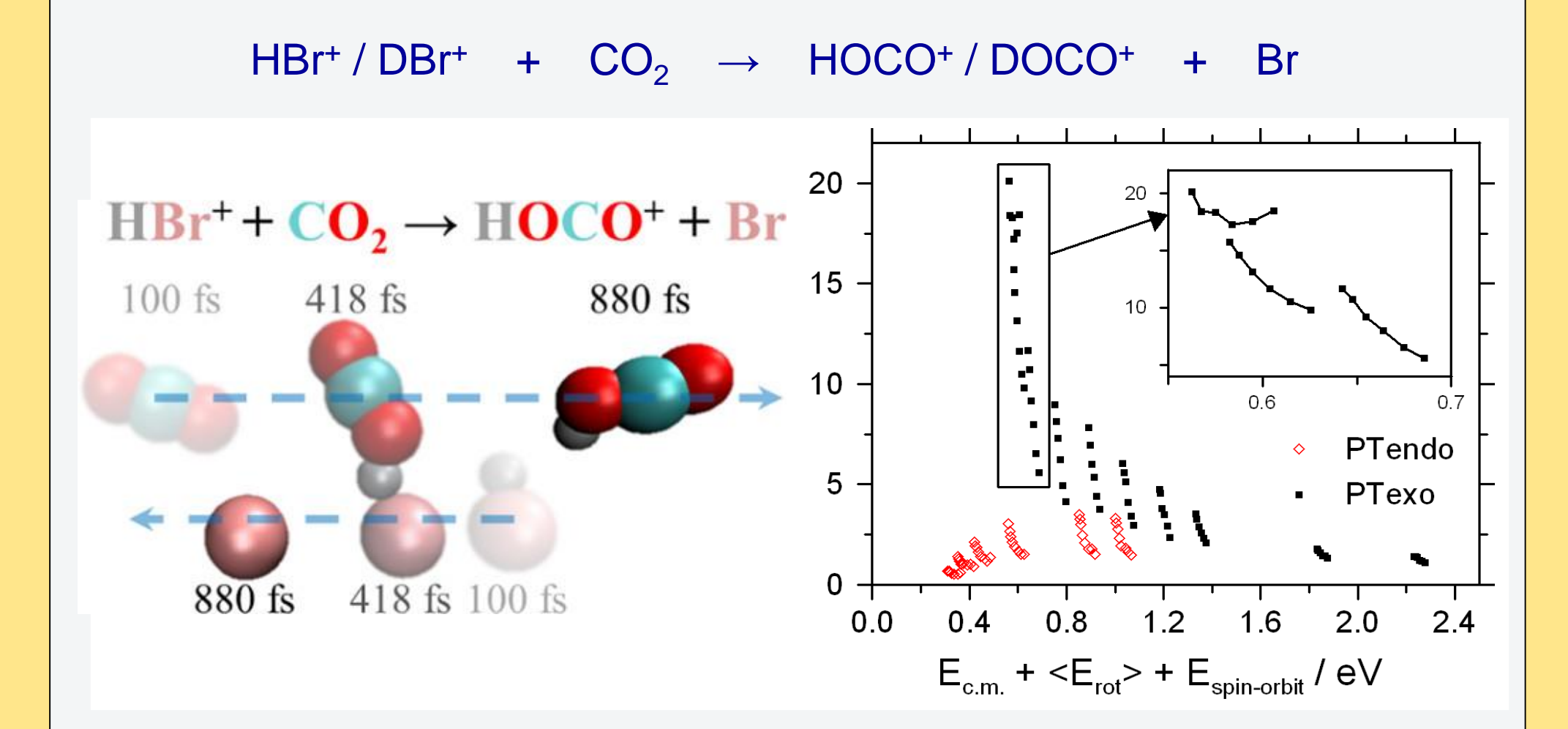
## Ionen-Molekül-Reaktionen zustandsselektierter Molekül-Ionen

- Untersuchung der Reaktionskinetik von Ionen mit neutralen Molekülen
- Motivation ist die Relevanz dieser Reaktionen im interstellaren Raum, in der Plasmachemie und in der analytischen Chemie (Protonentransfer-MS)



Frage nach Einfluss von Rotation und Stoßenergie auf die Geschwindigkeit der Reaktionen

Erzeugung zustandsselektierter Edukt-Ionen mittels REMPI (resonance enhanced multiphoton ionization)

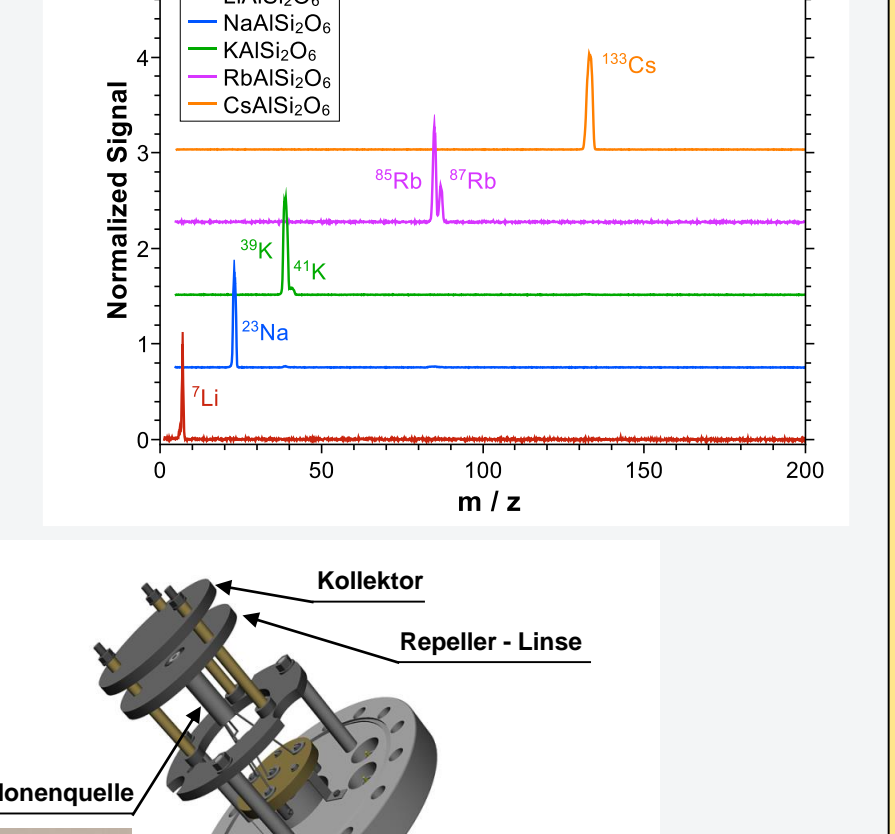


L. Paetow, F. Unger, W. Beichel, G. Frenking, K.-M. Weitzel, J. Chem. Phys., 132, 174305 (2010)

L. Paetow, F. Unger, B. Beutel, K.-M. Weitzel, J. Chem. Phys., <u>133</u>, 234301 (2010) Y. Luo, K. Fujioka, A. Shoji, W. L. Hase, K.-M. Weitzel, R. Sun, J. Phys. Chem. A, <u>124</u>, 9119 (2020)

## **Erzeugung von Alkali-Ionen Strahlen** über thermionische Emission

- Erzeugung einer kontinuierlichen Glüh-Heizen durch synthetischen Alkali-Alumosilikaten auf ca. 1000 K Untersuchung von Temperatur- und
- Feldabhängigkeit der Emission Optimierung der Emitter Verständnis des Prozesses der therm-
- ionischen Emission T<sub>Fil</sub>= 1110 ± 10 K T<sub>Fil</sub>= 1165 ± 10 K  $T_{Fii}$  = 1190 ± 10 K ∜ + T<sub>Fil</sub>= 1215 ± 10 K



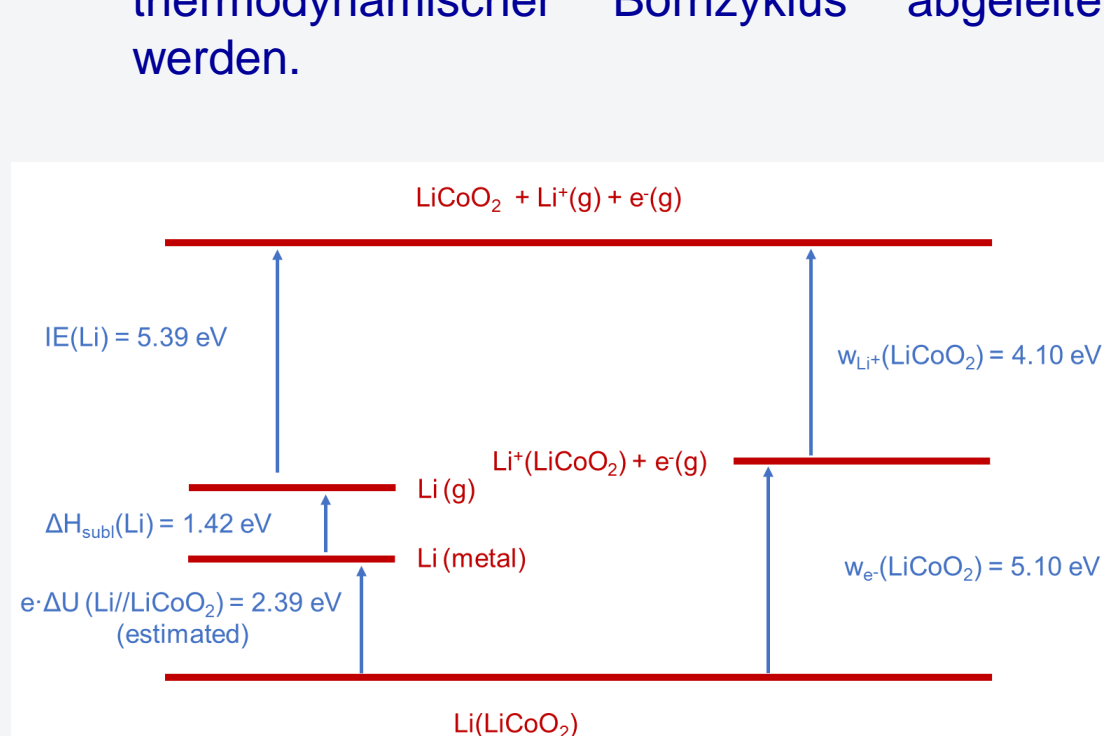
T. Kolling, A. Schlemmer, C. Pietzonka, B. Harbrecht, K.-M. Weitzel, J. Appl. Phys., <u>107</u>, 014105 (2010) S. Schuld, Schuld, M. Diekmann, M. Schäfer, K.-M. Weitzel, J. App. Phys, 120, 185102 (2016)

### Mass spectrometry / Chirality analysis **Femtochemistry** Formation of of ions ions lons Ion decay Transport of lons Ion-moleculereactions Ion-surfaceinteractions Plasma chemistry/ information storage Surface chemistry energy storage

## Bestimmung von Ionen-Austrittsarbeiten und Ableitung der "open circuit voltage"

Bestimmung der Austrittsarbeit mit Hilfe thermionischer Emission von Li<sup>+</sup> aus LiCoO<sub>2</sub> – einem typischen Elektrodenmaterial elektronischen

thermodynamischer Bornzyklus abgeleitet werden



**≥** 2.5 - Work function  $w(Li^+) = (4.10 \pm 0.08) eV$ 10 20 30 40 50 60 70 80  $E^{1/2}$  / (V cm<sup>-1</sup>)<sup>1/2</sup>

Bestimmung der "open circuit voltage" mit Hilfe des Born Zyklus

 $E_{act, K+} = 1.01 \text{ eV}$ 

S. Schuld, R. Hausbrand, M. Fingerle, W. Jaegermann, K.-M.Weitzel, Adv. Ener. Mat., 8, 1703411, (2018)

## Transport von Ionen durch Gläser mittels CAIT

- Transporteigenschaften von ionenleitenden Gläsern von großem Interesse für Batterieentwicklung und Energiespeichermedien.
- Untersuchungen mittels Charge attachment induced transport (CAIT)

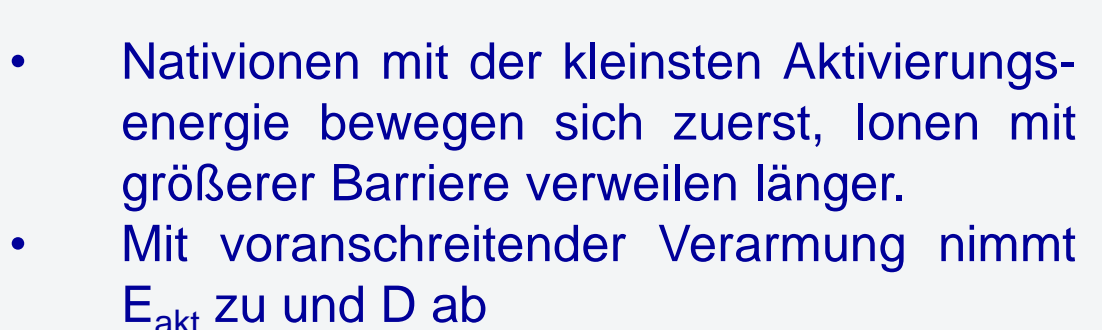
## **CAIT-Methode**

- Probe mit Ionen (Elektronen) bescheinen
- Adsorption der Ionen an der Glasoberfläche und Aufbau eines Ladungs- und
- Konzentrationsgradienten Bestimmung von Oberflächenpotentialen und Diffusionskoeffizienten durch Vergleich der experimentellen Ergebnisse mit Simulationen der Nernst-Planck-Poisson-Gleichung (NPP)
- Langzeit-Experimente führen zu Konzentrationsprofilen, die mit Time-of-flight secondary-ion mass-spectrometry (ToF-SIMS) analysiert werden können

# K<sup>+</sup> Beschuss eines Na-Calciumphosphat Glases

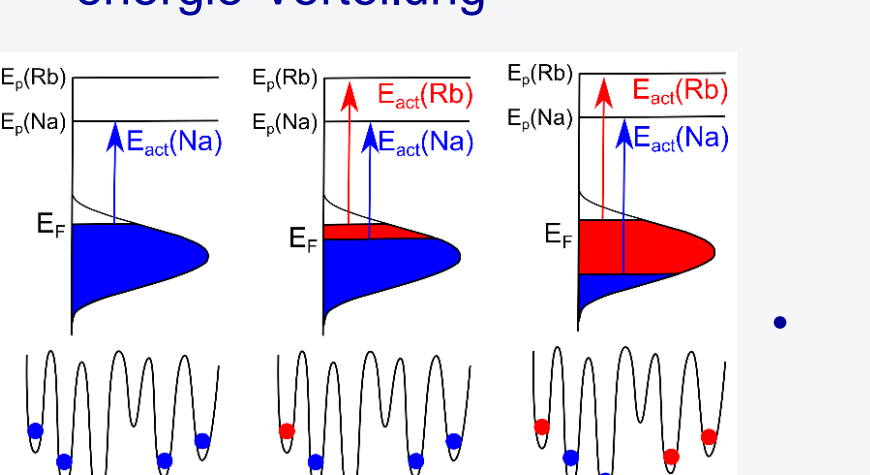
- K+ ersetzt Na+ in einer Schicht unterhalb der Glasoberfläche Diffusionsprofile können theoretisch beschrieben werden → D D<sub>Na</sub> ist konzentrationsabhängig
- Konzentrationsabhängigkeit von D beinhaltet implizit die Platz-Energieverteilung der Na-Ionen im Festkörper

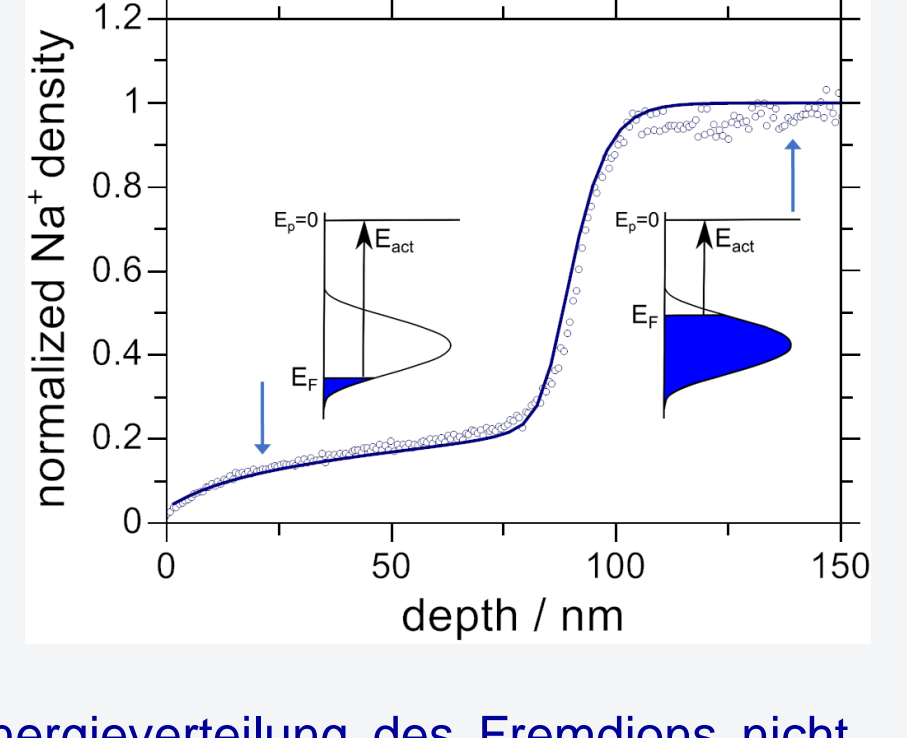
## **Platzenergieverteilung**



Tiefe / nm

Die Konzentrationsabhängigkeit von Eakt erlaubt Rückschlüsse auf die Platzenergie-Verteilung





Platzenergieverteilung des Fremdions nicht ermittelbar, weil die Zustände niedrigstem Eakt zuerst besetzt werden.

L. Rossrucker, P. V. Menezes, J. Zakel, M. Schäfer, B. Roling, K.-M. Weitzel, ZPC, 2012, 226, 341-353 (2012) M. Schäfer, K.-M. Weitzel, Materials Today Physics, 5, 12-19, (2018) M. Schäfer, D. Budina, K.-M. Weitzel, PCCP, <u>21</u>, 26251 (2019)

## Chiralitäts-Analyse von Biomolekülen

- Circularpolarisation des Laserlichts mittels λ/4-Wellenplatte (QWP)
- elektrogesprayten Photodetachment Anionen mit einem Laser Time-of-flight Analyse der photodetachten
- Anionen -> PICD Analyse der Winkelverteilung der Elektronen -> PECD
- ESI source

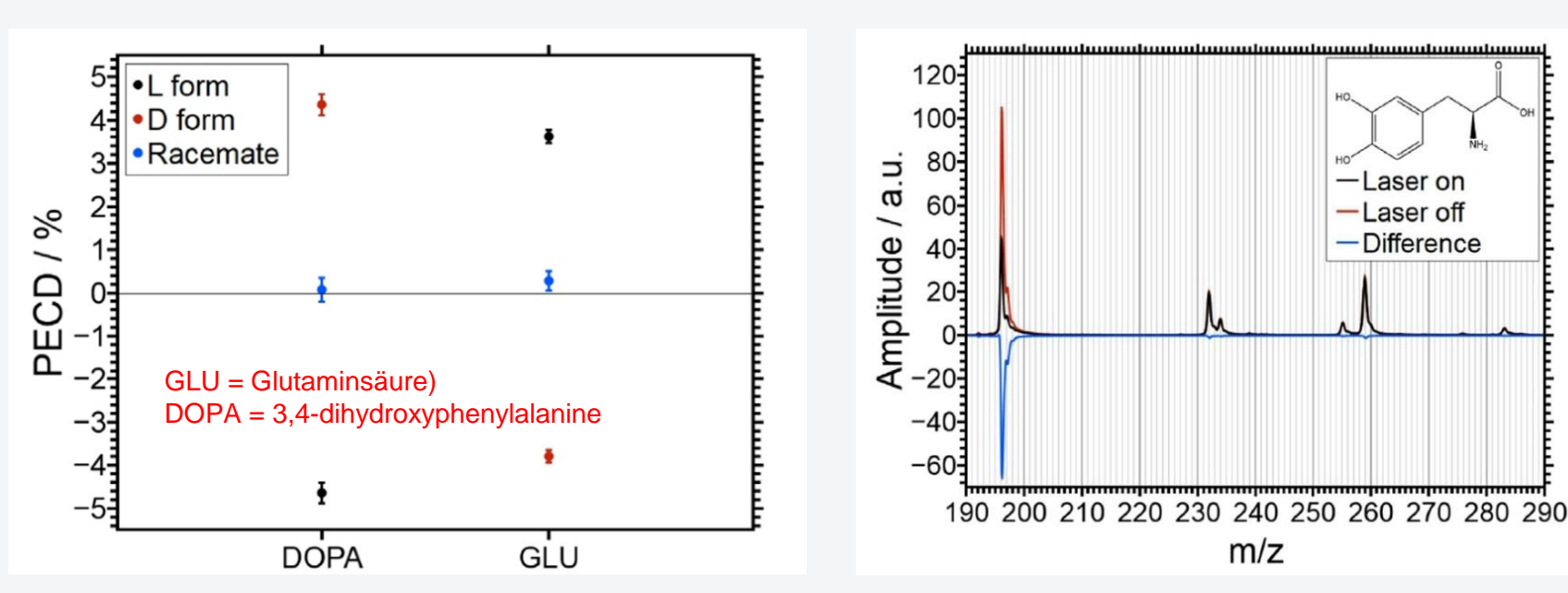
Laser off

m/z

-Difference

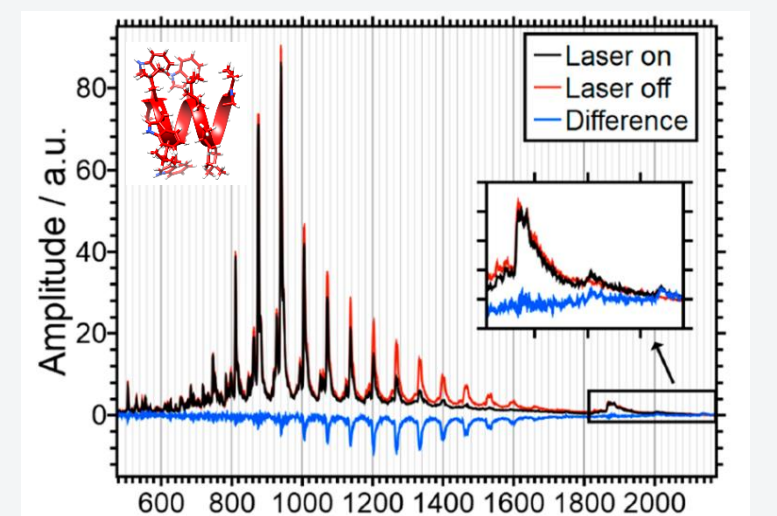
## PECD des Photodetachments von Aminosäureanionen

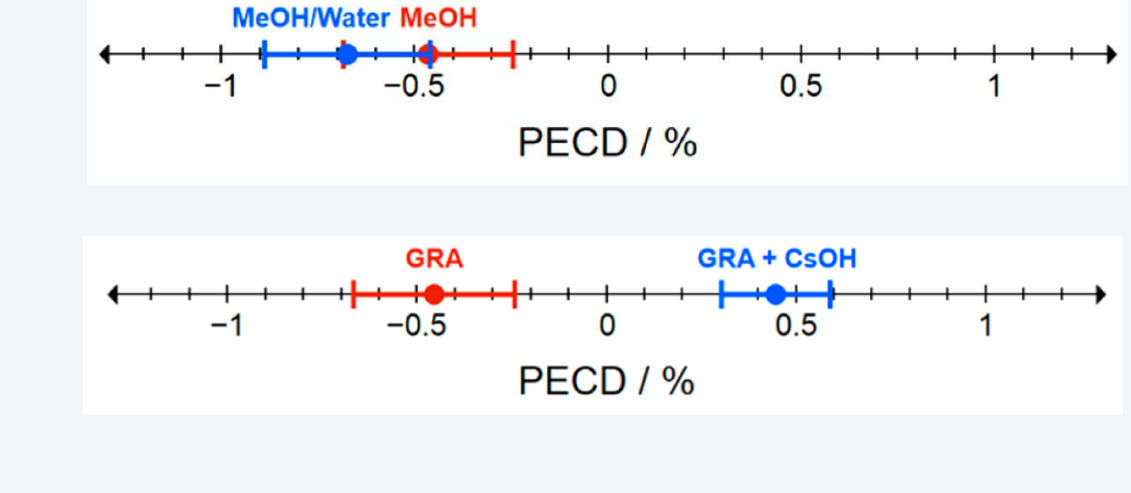
- Laser aus: Nur elekrogesprayte Anionen sind im Massenspektrum sichtbar
- Laser an: Depletion von Anionen durch Photodetachment
- PECD-Werte unterschiedlich, je nach Chiralität des Moleküls
- Nullsymmetrie der PECD-Werte
- Racemate weisen einen PECD-Wert von 0 auf



## PECD von elektrogesprayten Gramicidin Anionen

- Photodetachment an Gramicidin in Abhängigkeit des Lösungsmittels
- MeOH und MeOH/H<sub>2</sub>O Mischungen geringer Einfluss auf PECD CsOH im Lösungsmittel bildet Addukte mit den elektrogesprayten Anionen
- PECD-Werte sind unterscheidbar (Vorzeichenwechsel), Einfluss von Cs auf Sekundärstruktur

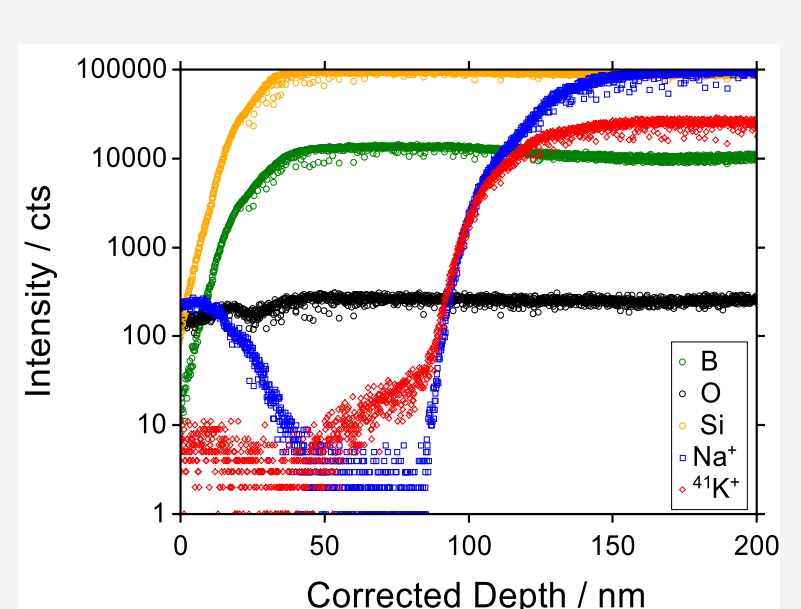




P. Krüger, K.-M. Weitzel, Angew. Chem. Int. Ed., <u>60</u>, 17861-17865 (2021) P. Krüger, J.H. Both, U. Linne, F. Chirot, K.-M. Weitzel, J. Phys. Chem. Lett., <u>13</u>, 6110-6116 (2022)

## **CAIT Experimente mit Elektronen und Plasma, APS**

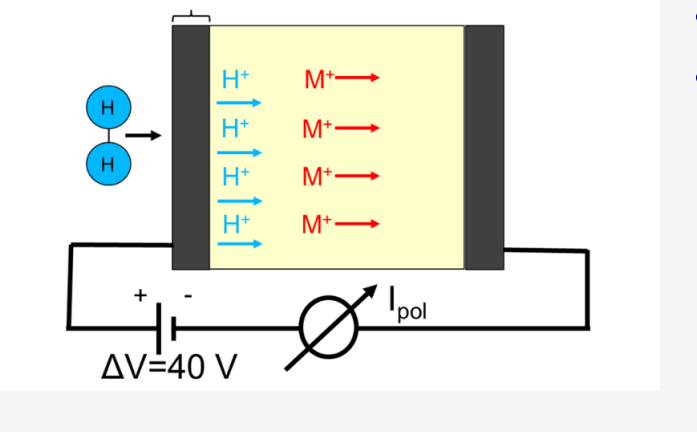
- Elektronenanlagerungsexperimente Elektronenstrahl bescheint Glasoberfläche
- Transport der Kationen zur bestrahlten Oberfläche Transiente Ausbildung einer negativ geladenen Zone nahe der Rückseitenelektrode
- Kleine geflossene Ladungsmenge Keine Blockade des Transports
- Leitfähigkeiten und Aktivierungsenergien messbar



2.3 2.5 1000/T / 1/K **Große geflossene Ladungsmenge** Aufbau einer ausgedehnten Alkaliverarmungs-

zone in der Nähe der Rückseitenelektrode

Ausbildung einer Ladungsträger-Blockade elektrischer Durchbruch kompensiert Gegenfeld Blockade abhängig vom Elektrodenmaterial



Glas wird mit Elektroden (Pt) kontaktiert In H<sub>2</sub>-Atmosphäre wird eine Gleichspannung angelegt



- H+ wird in das Glas hineintransportiert
- M<sup>+</sup> wird dadurch verdrängt
- Verarmungszone von M+ bildet sich aus H<sup>+</sup> wird eingetragen und angereichert

## **Plasma-CAIT**

- Femtosekundenlaser erzeugt Plasma Plasma vor der Probe führt zu
- Plasmawiderstand
- Kalibration dieses Widerstands erlaubt berührungslose Bestimmung der Probenleitfähigkeit
  - → Experimente bei unterschiedlichem Druck → Experimente bei unterschiedlicher Atmosphärenzusammensetzung
- = 72 meV 300 depth / nm
- A. Hein, M. Schäfer, K.-M. Weitzel, SSI, 339, 114996 (2019) J. L. Wiemer, K. Rein, K.-M. Weitzel, Z. Phys. Chem., 236, 1001 (2021) J. L. Wiemer, M. Schäfer, K.-M. Weitzel, J. Phys. Chem. C, <u>125</u>, 4977, (2021)